

## УПРАВЛЕНИЕ ПОВЕДЕНИЕМ КАК ФУНКЦИЯ СОЗНАНИЯ. II. САМОСОЗНАНИЕ И СИНТЕЗ ПЛАНА\*

© 2015 г. Г. С. Осипов, А. И. Панов, Н. В. Чудова

*Москва, Институт системного анализа РАН*

Рассматривается семантический уровень описания функций, которые в психологии принято относить к функциям сознания и самосознания. Исследуется механизм работы компонент знака, введённых в первой части статьи. На основе описания знака на семантическом уровне исследуется сходимость основного итерационного процесса образования знака — связывания образной компоненты знака и его значения. Введение алгоритмов работы компонент знака позволяет построить алгоритм процесса синтеза плана поведения, а также построить новую архитектуру интеллектуальных агентов, обладающих, в частности, способностями к распределению ролей в коалициях.

**Введение.** Как было подробно изложено в первой части статьи [1], в качестве базовых психологических теорий, в которых даётся не только качественное описание свойств когнитивных функций, но и приводятся структурные описания лежащих в их основе психических образований, в предложенном подходе использованы культурно-исторический подход Выготского—Лурии [2, 3], теория деятельности Леонтьева [4] и модель психики Артемьевой [5]. Согласно приведённым теориям высшие сознательные когнитивные функции осуществляются в рамках так называемой мотивированной предметной деятельности, когда объекты и процессы внешней среды опосредованы для субъекта специальными образованиями, называемыми знаками. Благодаря наличию четырёх компонент: образа, значения, личностного смысла и имени — знак участвует в реализации тех или иных когнитивных функций.

Четырёхкомпонентная структура элемента индивидуального знания, которая как было сказано выше, в психологии называется знаком, подтверждается и теми работами нейрофизиологов, в которых предпринимается попытка построить общую теорию работы мозга человека. Так, в теории повторного входа Эделмена [6] и Иваницкого [7, 8] утверждается, что образование осознанного ощущения или фиксация входного потока информации происходит только в том случае, когда активированное сенсорным входом возбуждение через ассоциативные зоны коры от гиппокампа, а затем от гипоталамуса накладывается на сенсорный след в проекционной коре. Такой «круг ощущений» (рис. 1), проходящий за характерное время в 150-300 мс, последовательно активирует три компоненты индивидуального знания: образную (проекционная и сенсорная зоны коры), компоненту значения (гиппокамп) и личностного смысла (гипоталамус). Регистрация сигнала в лобных долях (после возврата его в зоны первичной проекции), по видимому, связано с именованием всех трёх уже активированных компонент.

Кроме того, по современным нейрофизиологическим представлениям строение коры головного мозга практически однородно во всём своём объёме, о чём свидетельствует наличие колонок некортекса [9, 10]. При этом связи между достаточно малыми зонами коры (так называемый коннект [11]), явно указывают на иерархичность ее строения и на присутствие как восходящих, так и обратных, нисходящих связей. Отсюда следует, что основные

---

\*Работа выполнена при поддержке РНФ (грант № 14-11-00692).

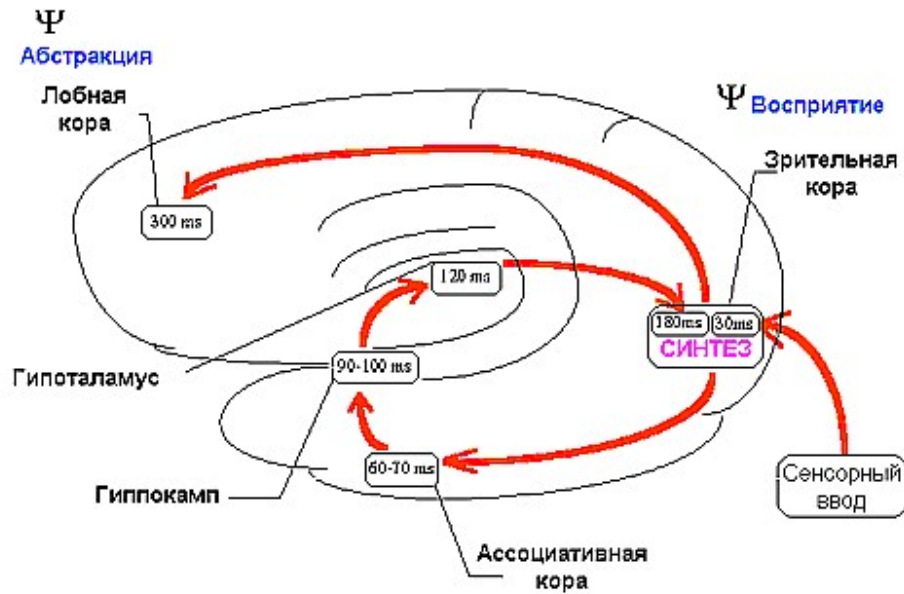


Рис. 1: «Круг ощущений» по Иваницкому [7].

компоненты элемента индивидуального знания должны обладать иерархическим однородным строением с восходящими потоками информации и нисходящей обратной связью. Кроме того, образная компонента должна иметь такую функцию распознавания, которая кроме категоризации статических объектов и динамических процессов использует обратную связь для предсказания сигнала в следующий момент времени.

**1. Семантический уровень.** В качестве модели базовой составляющей основных компонент знака будем использовать специальный распознающий автомат ( $R$ -автомат), основными функциями которого являются следующие функции:

- хранение информации  $Z$  о множестве некоторых сходных явлений (предметов и процессов внешнего мира), которые будем называть множеством выходных признаков  $F^*$  этого автомата,
- распознавание выходных признаков по информации о множестве входных признаков  $F$  с помощью множества функций распознавания  $\hat{F}$ .

Действие функции распознавания заключается в сопоставлении каждому признаку  $f_k^*$  из множества  $F^*$  действительного значения  $x_k^*$  по входному вектору  $\bar{x}$ . Значение  $x_k^*$  определяет уровень доверия тому, насколько успешно удалось построить признак из составляющих его низкоуровневых признаков, взвешенные значения присутствия которых определяются вектором  $\bar{x}$ .

В соответствии с данными нейрофизиологии будем считать, что множество  $R$ -автоматов  $\mathcal{R}$  организовано в иерархическую схему в виде связанного ориентированного ярусного графа. Выходная информация от распознающего автомата  $R_i^j \in \mathcal{R}$  направляется на нижний уровень иерархии, на вход поступает, соответственно, информация с верхнего уровня. Нижний индекс распознающего автомата является сквозным по множеству  $\mathcal{R}$ , а верхний обозначает номер яруса, которому принадлежит автомат.

Опишем множества входных  $A$ , выходных сигналов  $B$  и множество состояний  $Q$  распознающего автомата  $R_i^j = \langle A_i^j, Q_i^j, B_i^j, \varphi_i^j, \eta_i^j \rangle$  или просто  $R = \langle A, Q, B, \varphi, \eta \rangle$ .  $R$ -автомат

принимает на вход пару векторов  $(\bar{x}, \hat{x}^{j+1})$ , где первый вектор является вектором весов входных признаков размерности  $q$ , а второй — входным управляющим вектором с верхнего уровня иерархии размерности  $l$ , который принимает ненулевое значение только в фиксированные для данного автомата моменты времени  $0, h, 2h, \dots$ . Таким образом, множество входных сигналов  $A$  является декартовым произведением пространства взвешенных векторов входных признаков  $X$  и пространства управляющих векторов с верхнего уровня иерархии  $\hat{X}^{j+1}$ :  $A = X \times \hat{X}^{j+1}$ .

На выходе  $R$ -автомат выдаёт пару  $(\bar{x}^*, \hat{x}^j)$ , где  $\bar{x}^*$  — это вектор весов выходных признаков размерности  $l$ , а  $\hat{x}^j$  — выходной управляющий вектор на нижний уровень иерархии размерности  $q$ , который с учётом других автоматов уровня  $j$  является входным управляющим вектором для некоторых автоматов уровня  $j - 1$ . Из этого следует, что за единицу времени для автоматов уровня  $j$  проходит  $h^{j-1}$  единиц времени для автоматов уровня  $j - 1$ . Таким образом, выходное множество  $B$  является декартовым произведением пространства взвешенных векторов выходных признаков  $X^*$  и пространства управляющих векторов для нижнего уровня иерархии  $\hat{X}^j$ :  $A = X^* \times \hat{X}^j$ .

Будем считать множество состояний конечным, в связи с чем каждой функции распознавания  $\hat{f}_k$  из множества  $\hat{F}$  будем ставить в соответствие набор матриц предсказания  $Z_k = \{Z_1^k, \dots, Z_m^k\}$  размерности  $q \times h$ , где  $h$  — характерное время распознающего автомата. Столбец  $\bar{z}_u^r = (z_{u1}^k, \dots, z_{uq}^k)$  матрицы  $Z_r^k$  интерпретируется как вектор предсказания присутствия входных признаков из множества  $F$  в момент времени  $\tau + u$ , где  $\tau = 0, h, 2h, \dots$ . При этом  $z_{uv}^k \in \{0, 1\}$ , т. е. вектор  $\bar{z}_u^r$  является булевым вектором. Сама матрица  $Z_r^k$  задаёт, таким образом, последовательность событий, наличие которых свидетельствует о присутствии распознаваемого функцией  $\hat{f}_k$  признака. Иными словами, множество всех матриц предсказания распознающего автомата  $\mathcal{Z}$  хранит в себе информацию о выходных признаках. Множество состояний будем определять как совокупность всех подмножеств множества всех матриц предсказания:  $Q = 2^{\mathcal{Z}}$ .

Таким образом, распознающий автомат  $R$  является бесконечным автоматом Мили с переменной структурой и конечной памятью:  $R_i^j = \langle X \times \hat{X}^{j+1}, 2^{\mathcal{Z}}, X^* \times \hat{X}^j, \varphi_i^j, \eta \rangle$  (рис. 2). Алгоритм  $\mathcal{A}_{th}$  вычисления функции переходов  $\varphi$  и выходной функции  $\eta$  по начальному моменту времени  $\tau$ , управляющему воздействию  $\hat{x}^{j+1}(\tau)$  и входному воздействию  $\omega_i^j$  представлен ниже. В алгоритме используется стандартная функция  $W$  нормировки весовых значений:

$$W(\bar{x}) = \left( \frac{x_1}{\max_i x_i}, \dots, \frac{x_n}{\max_i x_i} \right), \quad (1)$$

где  $\bar{x} = (x_1, \dots, x_n)$  — вектор с ненормированными компонентами.

---

**1** Алгоритм  $\mathfrak{A}_{th}$ 

---

**Вход:**  $\tau_s, \hat{x}_i^{j+1}(\tau_s), \omega_i^j$ ;**Выход:**  $\varphi_{i\Delta t}^j, \bar{\eta}_{i\Delta t}^j$ ;

- 1:  $\hat{F}^* = \emptyset, Z^* = \emptyset, t = 0$ ;    // активные функции распознавания и матрицы предсказания
  - 2:  $c_1 \in (0, 1), c_2 \in (0, 1)$ ;    // пороговые константы  
   // определение начального состояния
  - 3: **для всех** компонент  $\hat{x}_{ik}^{j+1}$  вектора  $\hat{x}_i^{j+1}(\tau_s) = (\hat{x}_{i1}^{j+1}, \hat{x}_{i2}^{j+1}, \dots, \hat{x}_{il}^{j+1})$
  - 4:    **если**  $\hat{x}_{ik}^{j+1} \geq c_1$  **то**
  - 5:      $\hat{F}^* := \hat{F}^* \cup \{\hat{f}_k\}$ ;
  - 6:  $\bar{x}_i^j := \omega_i^j(\tau_s)$ ;
  - 7: **для всех** функций распознавания  $\hat{f}_k \in \hat{F}^*$
  - 8:    **для всех**  $Z_r^k \in \mathcal{Z}_k$ , соответствующих функции распознавания  $\hat{f}_k$ ,
  - 9:     **если**  $\frac{\|\bar{z}_1^r - \bar{x}_i^j\|}{\|\bar{z}_1^r\| + \|\bar{x}_i^j\|} < c_2$  **то**
  - 10:       $Z^* := Z^* \cup \{Z_r^k\}$ ;
  - 11:  $\varphi_i^j(\bar{x}_i^j, \hat{x}_i^{j+1}(\tau_s)) := Z^*$ ;    // значение функции переходов в начальный момент времени
  - 12:  $\bar{N} := (|\{Z_r^1 | Z_r^1 \in Z^*\}|, \dots, |\{Z_r^{l_j} | Z_r^{l_j} \in Z^*\}|)$ ;
  - 13:  $\eta(Z^*) = \bar{x}_i^{*j} := W(\bar{N})$ ;    // значение функции выходов в начальный момент времени
  - 14:  $\hat{x}_i^j = W(\sum_{\hat{f}_k \in \hat{F}^*} \hat{x}_{ik}^{j+1} \sum_{Z_r^k \in Z^*} \bar{z}_2^r)$ ;  
   // оновной цикл
  - 15:  $t = 1$ ;
  - 16: **пока**  $t \leq h_i^j - 1$
  - 17:     $\bar{x}_i^j := \omega(\tau_s + t)$ ;
  - 18:    **для всех** матриц предсказания  $Z_r^k$  из множества  $Z^*$
  - 19:     **если**  $\frac{\|\bar{z}_{t+1}^r - \bar{x}_i^j\|}{\|\bar{z}_{t+1}^r\| + \|\bar{x}_i^j\|} \geq c_2$  **то**
  - 20:       $Z^* := Z^* \setminus \{Z_r^k\}$ ;
  - 21:  $\varphi_i^j(\bar{x}_i^j, \hat{x}_i^{j+1}(\tau_s)) := Z^*$ ;    // значение функции переходов в момент времени  $t$
  - 22:  $\bar{N} = (|\{Z_r^1 | Z_r^1 \in Z^*\}|, \dots, |\{Z_r^{l_j} | Z_r^{l_j} \in Z^*\}|)$ ;
  - 23:  $\eta(Z^*) = \bar{x}_i^{*j} := W(\bar{N})$ ;    // значение функции выходов в момент времени  $t$
  - 24:  $t = t + 1$ ;
  - 25: **если**  $t \leq h_i^j - 2$  **то**
  - 26:     $\hat{x}_i^j := W(\sum_{\hat{f}_k \in \hat{F}^*} \hat{x}_{ik}^{j+1} \sum_{Z_r^k \in Z^*} \bar{z}_t^r)$ ;
-

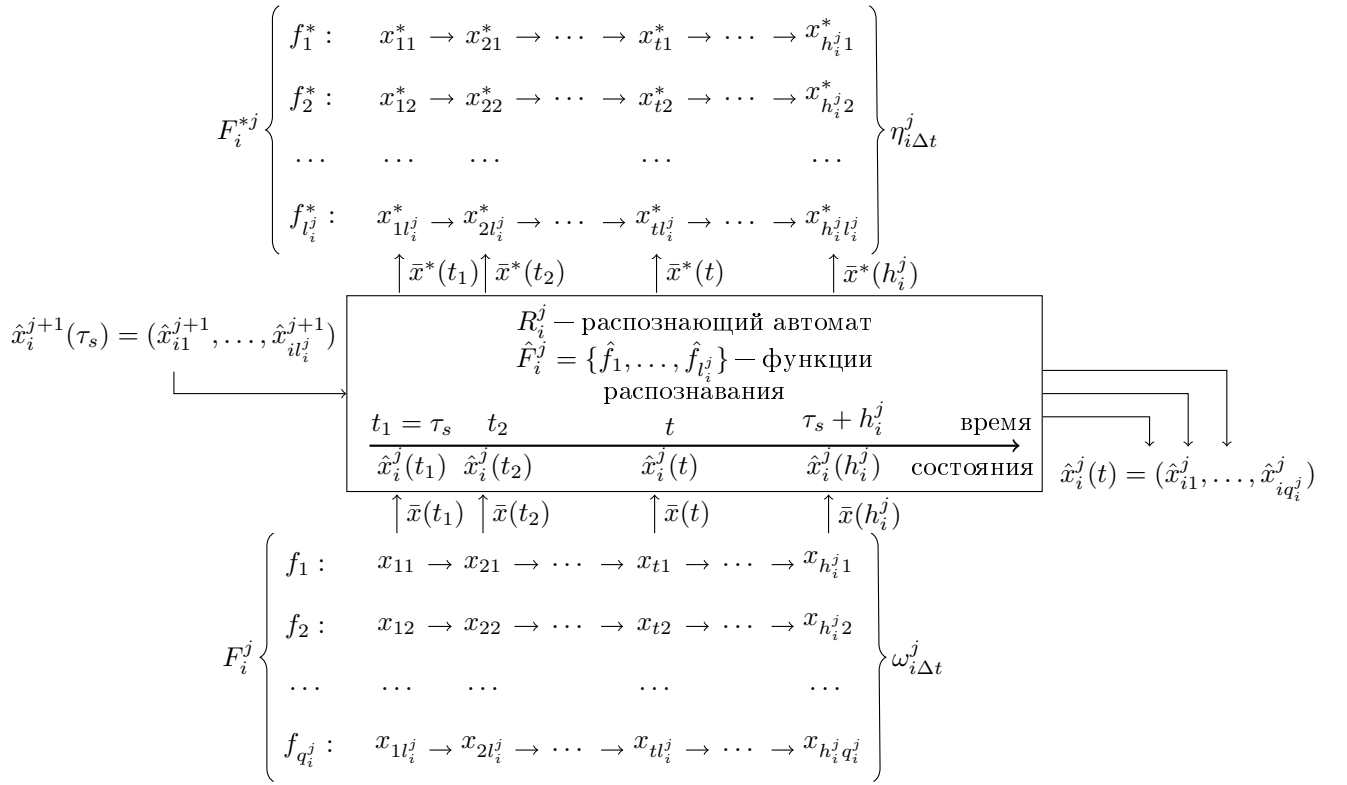


Рис. 2: Входные и выходные сигналы распознающего автомата.

1.1. Определение компонент знака. Для определения компонент знака через описанный в предыдущем разделе  $R$ -автомат необходимо ввести ряд вспомогательных понятий.

Введём семейство бинарных отношений  $\{\sqsubset, \sqsubset^1, \sqsubset^2, \dots\}$ , определённых на декартовом произведении  $\{f_k\} \times \{f_k\}$ . Будем считать, что «признак  $f_1$  является составляющим признака  $f_2$ » или «признак  $f_2$  измеряется по признаку  $f_1$ »,  $(f_1, f_2) \in \sqsubset$  или  $f_1 \sqsubset f_2$ , в том случае, если  $f_1 \dashv R_1^j, f_2 \dashv R_2^{j+1}, R_2^{j+1}$  — родительский блок по отношению к  $R_1^j$  и в множестве матриц предсказания  $\mathcal{Z}_2$  признака  $f_2$  существует как минимум одна матрица  $Z_r^2$ , содержащая некоторый столбец  $\bar{z}_u^r$  с элементом  $z_{uv}^r \neq 0$ , где  $v$  — индекс признака  $f_1$  во входном векторе для распознающего блока  $R_2^{j+1}$ .

Пара признаков  $(f_1, f_2) \in \sqsubset^t$  или  $f_1 \sqsubset^t f_2$ , где  $t \in \{1, 2, \dots\}$ , в том случае, если  $f_1 \dashv R_1^j, f_2 \dashv R_2^{j+1}, R_2^{j+1}$  — родительский блок по отношению к  $R_1^j$  и в множестве матриц предсказания  $\mathcal{Z}_2$  признака  $f_2$  существует как минимум одна матрица  $Z_r^2$ , содержащая  $t$ -ый столбец  $\bar{z}_t^r$  с элементом  $z_{tv}^r \neq 0$ , где  $v$  — индекс признака  $f_1$  во входном векторе для распознающего блока  $R_2^{j+1}$ .

Каждый элемент векторов—столбцов соотносится с признаком из входного множества признаков распознающего блока, что означает задание типа для каждого элемента вектора—столбца. Будем обозначать тип  $k$ -го элемента вектора—столбца распознающего блока  $R_i^j$  как  $f_i^j(k) \in F_i^j, k \in (1, q_i^j)$ .

Введём два выделенных из множества  $\{f_k\}$  признака:  $f_c$  — «условие» и  $f_e$  — «эффект», распознаваемые одним распознающим блоком  $R_0^1: F_0^{*1} = \{f_c, f_e\}$ . Те признаки, которые распознаются распознающими блоками, выступающими родительскими по отношению к блоку  $R_0^1$ , будем называть процедурными признаками, остальные — объектными признаками.

Для любого процедурного признака выполняются следующие естественные условия:

- условие всегда предшествует эффекту,

- условие всегда влечёт за собой эффект и
- все условия всегда отделены от своих эффектов.

Иными словами, если  $f_1$  — процедурный признак, то если в столбце  $\bar{z}_u^r$  матрицы предсказания  $Z_r^1$  элемент  $z_{uv}^r$ , соответствующий признаку  $f_c$ , не равен 0, то в этом столбце соответствующий признаку  $f_e$  элемент вектора — нулевой, в столбце  $z_{u+t}^r, t > 0$  наоборот — элемент  $z_{u+t,v}^r$ , соответствующий признаку  $f_c$ , равен 0, а соответствующий признаку  $f_e$  элемент — не нулевой. Те столбцы матрицы предсказания  $Z$ , в которых соответствующий признаку  $f_e$  элемент вектора не нулевой, будем называть *столбцами эффектов*, а те столбцы матрицы предсказания  $Z$ , в которых не равен нулю элемент вектора, соответствующий признаку  $f_c$  — *столбцами условий*.

Пополним семейство отношений  $\{\sqsubset, \sqsubset^1, \sqsubset^2, \dots\}$  двумя отношениями:  $\sqsubset^c$  и  $\sqsubset^e$ , принадлежность к которым пары признаков  $(f_1, f_2)$  свидетельствует о том, что признак  $f_1$  присутствует соответственно в столбце условий и эффектов как минимум в одной матрице предсказания процедурного признака  $f_2$ .

**Определение 1.** Если  $f_1$  — признак, то подмножество  $\tilde{p}(f_1)$  множества  $\{f_k\}$  таких признаков, что  $\forall f_i \in \tilde{p}(f_1) f_i \sqsubset f_1$ , будем называть перцептом признака  $f_1$ .

На множестве всех перцептов  $\tilde{P}$  введём величину  $\rho_p(\tilde{p}(f_1), \tilde{p}(f_2))$ , вычисляемую по следующему правилу:

- если  $f_1$  и  $f_2$  распознаются разными распознающими блоками, т. е.  $f_1 \dashv R_1^j, f_2 \dashv R_2^i$ , то  $\rho_p(\tilde{p}(f_1), \tilde{p}(f_2)) = \infty$ ,
- если  $f_1$  и  $f_2$  распознаются одним и тем же распознающим блоком  $R_1^j$  со множеством входных признаков  $F_1^j$  мощности  $q$  и характерным временем  $h$ , то

$$\rho_p(\tilde{p}(f_1), \tilde{p}(f_2)) = \min_{\substack{Z_r^1 \in Z_1 \\ Z_s^2 \in Z_2}} \frac{1}{q \cdot h} \sum_{u=1}^h \|\bar{z}_u^r - \bar{z}_u^s\|. \quad (2)$$

**Утверждение 1.** Величина  $\rho_p$  является метрикой на множестве перцептов  $\tilde{P}$ .

**Определение 2.** Если  $f_1$  — признак,  $f_2$  — процедурный признак,  $f_1 \sqsubset^c f_2$ , то будем называть  $f_2$  функциональным значением признака  $f_1$ . Множество всех функциональных значений признака  $f_1$  будем обозначать  $\tilde{m}(f_1)$ .

На множестве всех функциональных значений  $\tilde{M}$  введём величину  $\rho_m(\tilde{m}(f_1), \tilde{m}(f_2))$ , вычисляемую по следующему правилу:

$$\rho_m(\tilde{m}_1(f_1), \tilde{m}_2(f_2)) = \min_{\substack{f_i \in \tilde{m}(f_1) \\ f_j \in \tilde{m}(f_2)}} \rho_p(\tilde{p}(f_i), \tilde{p}(f_j)). \quad (3)$$

**Утверждение 2.** Величина  $\rho_m$  является метрикой на множестве функциональных значений  $\tilde{M}$ .

1.2. Семантический уровень обобщения. Определение ролевой структуры для алгоритма планирования.

Здесь я бы предложил дать определение типам обобщения на семантическом уровне.

**2.Связывание образа и значения.** Для формальной записи итерационного процесса связывания образа и значения в алгоритме образования знака из первой части статьи рассмотрим подробнее строение матрицы предсказания процедурного признака. Матрицу предсказания  $Z_r^p$  процедурного признака  $f_p$  всегда можно представить в следующем виде:

$$Z_r^p = (\bar{z}_1^{r,c}, \dots, \bar{z}_{j_1}^{r,c}, \bar{z}_{j_1+1}^{r,e}, \dots, \bar{z}_{i_1}^{r,e}, \dots, \bar{z}_{i_{k-1}+1}^{r,c}, \dots, \bar{z}_{j_k}^{r,c}, \bar{z}_{j_k+1}^{r,e}, \dots, \bar{z}_{i_k}^{r,e}), \quad (4)$$

где  $\bar{z}_j^{r,c}$  — столбцы причин,  $\bar{z}_i^{r,e}$  — столбцы следствий.

Величину  $k$  будем называть актностью процедурного признака. В дальнейшем будем рассматривать простые матрицы предсказаний  $k$ -актного процедурного признака:

$$Z_r^p = (\bar{z}_1^{r,c}, \bar{z}_2^{r,e}, \dots, \bar{z}_{2 \cdot k - 1}^{r,c}, \bar{z}_{2 \cdot k}^{r,e}). \quad (5)$$

Краткая форма  $k$ -актного процедурного признака  $f_p$  имеет матрицу предсказания, в которой оставлены только первый столбец условий и последний столбец эффектов.

Любой одноактный процедурный признак  $f_p$ , распознаваемый блоком  $R_i^j$ , можно представить в виде правила  $r_p = (F_C(f_p), F_A(f_p), F_D(f_p))$ , в котором:

- $F_C(f_p) \subseteq F_i^j$  — множество признаков — условий правила:  $\forall f \in F_C(f_p) \ f \sqsubset^c f_p$ ;
- $F_A(f_p) \subseteq F_i^j$  — множество добавляемых правилом признаков:  $\forall f \in F_A(f_p) \ f \sqsubset^e f_p, f \notin F_C$ ;
- $F_D(f_p) \subseteq F_i^j$  — множество удаляемых правилом признаков:  $\forall f \in F_D(f_p) \ f \notin F_A, f \in F_C$ .

Очевидно, выполняются следующие соотношения:  $F_A(f_p) \cap F_D(f_p) = \emptyset$ ,  $F_A(f_p) \cap F_C(f_p) = \emptyset$ ,  $F_D(f_p) \subseteq F_C(f_p)$ .

**Определение 3.** *Процедурный признак  $f_p^1$  с матрицей предсказания  $Z = (\bar{z}_1^c, \bar{z}_2^e)$  выполняется на векторе  $z$  длины  $q$ , если  $z \cdot \bar{z}_1^c = \bar{z}_2^e$ .*

Будем говорить, что процедурный признак  $f_p^1$  выполним в условиях процедурного признака  $f_p^2$ , если

- оба признака распознаются одним и тем же распознающим блоком  $R_i^j$  и признак  $f_p^1$  выполняется на столбце условий матрицы предсказания признака  $f_p^2$ ,
- $f_p^1 \dashv R_1^{j_1}, f_p^2 \dashv R_2^{j_2}$ , множества  $F_C(f_p^1)$  и  $F_C(f_p^2)$  состоят из одних и тех же признаков, образуемый вектор  $\tilde{z}$  (той же мощности, что и множество  $F_1^{j_1}$ ) элементы которого, соответствующие признакам из  $F_C(f_p^2)$  принимаются равными 1, остальные — 0, и признак  $f_p^1$  выполним на векторе  $\tilde{z}$ .

**Определение 4.** *Будем говорить, что два процедурных признака  $f_p^1$  и  $f_p^2$  конфликтуют, если выполнено как минимум одно из следующих условий:*

- $F_D(f_p^1) \cap F_A(f_p^2) \neq \emptyset$ ,
- $F_D(f_p^2) \cap F_A(f_p^1) \neq \emptyset$ ,
- $F_D(f_p^1) \cap F_C(f_p^2) \neq \emptyset$ ,
- $F_D(f_p^2) \cap F_C(f_p^1) \neq \emptyset$ .

**Определение 5.** *Результатом операции сохраняющего приведения вектор—столбца  $\bar{z}_1$  к множеству входных признаков  $F_{i_2}^{j_2}$  будем называть такой вектор  $\bar{z}_3$  длины  $q_{i_2}^{j_2}$ , элемент которого  $z_{3k} = 1$ , если  $f_{i_1}^{j_1}(k) = f_{i_2}^{j_2}(k)$  и  $z_{1k} = 1$ , иначе  $z_{3k} = 0$ , и обозначать  $(\bar{z}_1 \rightarrow F_{i_2}^{j_2}) = \bar{z}_3$ .*

**Определение 6.** Результатом операции сужающего приведения вектор—столбца  $\bar{z}_1$  к некоторому столбцу  $\bar{z}_2$  распознающего блока  $R_{i_2}^{j_2}$  будем называть такой вектор  $\bar{z}_3$  длины  $q_{i_2}^{j_2}$ , элемент которого  $z_{3k} = 1$ , если  $f_{i_1}^{j_1}(k) = f_{i_2}^{j_2}(k)$ ,  $z_{2k} = 1$  и  $z_{1k} = 1$ , иначе  $z_{3k} = 0$ , и обозначать  $(\bar{z}_1 \Rightarrow \bar{z}_2) = \bar{z}_3$ .

Будем считать, что у субъекта имеется опыт наблюдения, который выражается в виде отношения  $\Psi_p^m: \tilde{p}\Psi_p^m\tilde{m}$ , или  $\Psi_p^m(\tilde{p}) = \tilde{m}$ , в том случае, если  $\tilde{p} \in \tilde{P}$  является перцептом некоторого признака  $f$ , а  $\tilde{m} \in \tilde{M}$  — функциональным значением того же признака  $f$ .

Ниже представлен алгоритм доопределения функции  $\Psi_p^m$ , который и отражает собой суть итерационного процесса во время образования знака согласно алгоритму из первой части статьи. Доопределение проводится на новую пару  $(\tilde{p}, \tilde{m})$ , где функциональное значение  $\tilde{m}$  строится в сравнении с эталоном  $\tilde{m}^0$ , а перцепт  $\tilde{p}$  формируется на основе подмножества составляющих признаков  $\hat{F}$ . Доопределение функции  $\Psi_p^m$  означает формирование нового признака  $f^*$ , т. е. его первой матрицы предсказания  $Z^*$  в рамках распознающего блока  $R^*$ .

---

## 2 Алгоритм $\mathfrak{A}_{pm}$

---

**Вход:**  $\tilde{m}^0 = \{f_p\}$ ,  $\Psi_p^m, \hat{F} \subseteq \{f_k\}$ ;

---

- 1:  $\tilde{p}^{*(0)} := \emptyset$ ;
  - 2:  $Z^{*(0)} := \emptyset$ ;
  - 3:  $t := 0$ ;
  - 4: **для всех**  $f^{(t)} \in \hat{F}$
  - 5:   **если**  $\exists \tilde{m}^{(t)} \in \tilde{M}$  такое, что  $(\tilde{p}(f^{(t)}), \tilde{m}^{(t)}) \in \Psi_p^m$  **and**  $\tilde{m}^{(t)}$  выполним в условиях признака  $f_p$  **and**  $\nexists f: f \in \tilde{p}^{*(t)}, (\tilde{p}(f), \tilde{m}(f)) \in \Psi_p^m, \tilde{m}^0$  конфликтует с  $\tilde{m}^{(t)}$  **то**
  - 6:      $\tilde{p}^{*(t)} = \tilde{p}^{*(t)} \cup \{f^{(t)}\}$ ;
  - 7:   **если**  $\exists R_i^j$  такой, что  $f^{(t)} \in F_i^j$  **то**
  - 8:      $R_i^{j(t)} := R_i^j$ ;
  - 9:   **иначе**
  - 10:      $R_i^{j(t)} := \arg \max_{\{R\}} (F_i^j \cap \tilde{p}^{(t)}), F_i^{j(t)} := F_i^j \cup f^{(t)}$ ;
  - 11:    $\bar{z}_s := (z_{s1}, z_{s2}, \dots, z_{sq}), z_{sk} = 1$ , если  $k$  — индекс признака  $f^{(t)}$  во входном векторе распознающего блока  $R_i^{j(t)}$  и  $z_{sk} = 0$  иначе;
  - 12:    $Z^{*(t)} := Z^{*(t)} \cup \bar{z}_s$ ;
  - 13:    $Z_p^{(t)} := (\bar{z}_1^{c(t)}, \bar{z}_2^{c(t)}, \dots, \bar{z}_{2 \cdot k - 1}^{c(t)}, \bar{z}_{2 \cdot k}^{c(t)})$ , где  $\bar{z}_i^{c(t)} = \bigvee_{\tilde{m}_j^{(t)}} (\bar{z}_j^{c(t)} \rightarrow F_p^j)$ ,
  - 14:    $\bar{z}_i^{e(t)} = \bigvee_{\tilde{m}_j^{(t)}} (\bar{z}_j^{e(t)} \Rightarrow \bar{z}_j^e)$ ;
  - 15:    $\tilde{m}^{*(t)} = \{f_p^{(t)}\}$ ;
  - 16:    $Z^{*(t)} = \{Z^{*(t)}\}$ ;
  - 17:    $t = t + 1$ ;
- вернуть**  $\Psi_p^m$ , определённая на паре  $(\tilde{p}, \tilde{m})$ , где  $\tilde{p} = \lim_{t \rightarrow |\hat{F}|} \tilde{p}^{*(t)}$ ,  $\tilde{m} = \lim_{t \rightarrow |\hat{F}|} \tilde{m}^{*(t)}$ ,  $f^*, Z^* = \lim_{t \rightarrow |\hat{F}|} Z^{*(t)}, Z^* = \{Z^*\}$ ;
- 

**Теорема 1** (о корректности алгоритма  $\mathfrak{A}_{pm}$ ). Алгоритм  $\mathfrak{A}_{pm}$  корректен, т. е. последовательность функциональных значений  $\langle \tilde{m}^{*(0)}, \tilde{m}^{*(1)}, \dots \rangle$ , которая строится с помощью алгоритма  $\mathfrak{A}_{pm}$  для функционального значения  $\tilde{m}^0$ , сходится к  $\tilde{m}^0$ .



**Доказательство.** Рассмотрим два элемента последовательности  $\tilde{m}^{*(t)} = \{f_p^{(t)}\}$  и  $\tilde{m}^{*(t+1)} = \{f_p^{(t+1)}\}$ . Соответствующие матрицы предсказания будут иметь следующий вид:

$$Z_p^{(t)} = (\bar{z}_1^{c(t)}, \bar{z}_2^{e(t)}, \dots, \bar{z}_{2 \cdot s - 1}^{c(t)}, \bar{z}_{2 \cdot s}^{e(t)}), \quad (6)$$

$$Z_p^{(t+1)} = (\bar{z}_1^{c(t+1)}, \bar{z}_2^{e(t+1)}, \dots, \bar{z}_{2 \cdot s - 1}^{c(t+1)}, \bar{z}_{2 \cdot s}^{e(t+1)}). \quad (7)$$

Если на шаге 1 и 2 алгоритма  $\mathfrak{A}_{pm}$  на  $(t+1)$ -й итерации не был найден подходящий признак, то матрицы  $Z_p^{(t)}$  и  $Z_p^{(t+1)}$  равны. Рассмотрим случай, когда был найден подходящий признак  $f^{(t+1)}$  с функциональным значением  $\tilde{m}^{(t+1)} = \{\tilde{f}_p^{(t+1)}\}$  с соответствующей матрицей предсказания  $\tilde{Z}_p^{(t+1)} = (\bar{z}^{c(t+1)}, \bar{z}^{e(t+1)})$ .

Т. к. выполнено условие шага 1, то признак  $\tilde{f}_p^{(t+1)}$  выполним на некотором  $(2 \cdot s - 1)$ -м столбце условий матрицы предсказания признака  $f_p$ . Это означает, что матрицы  $Z_p^{(t)}$  и  $Z_p^{(t+1)}$  будут отличаться только в двух вектор-столбцах  $(2 \cdot s - 1)$ -м и  $(2 \cdot s)$ -м:

$$\bar{z}_{2 \cdot s - 1}^{c(t+1)} = \bar{z}_{2 \cdot s - 1}^{c(t)} \vee (\bar{z}^{c(t+1)} \rightarrow F_p^j), \bar{z}_{2 \cdot s}^{e(t+1)} = \bar{z}_{2 \cdot s}^{e(t)} \vee (\bar{z}^{e(t+1)} \Rightarrow \bar{z}_{2 \cdot s}^e). \quad (8)$$

По определению расстояние между функциональными значениями  $\tilde{m}^{(t)}$  и  $\tilde{m}^0$  примет следующее значение:

$$\begin{aligned} \rho_m(\tilde{m}^{(t)}, \tilde{m}^0) &= \min_{\substack{f_i \in \tilde{m}^{(t)} \\ f_j \in \tilde{m}^0}} \rho_p(\tilde{p}(f_i), \tilde{p}(f_j)) = \rho_p(\tilde{p}(f_p^{(t)}), \tilde{p}(f_p)) = \\ &= \frac{1}{q \cdot h} \sum_{\substack{\bar{z}_u^1 \in Z_p^{(t)} \\ \bar{z}_u^2 \in Z_p}} \|\bar{z}_u^1 - \bar{z}_u^2\|. \end{aligned} \quad (9)$$

Аналогично для  $\tilde{m}^{(t+1)}$ :

$$\rho_m(\tilde{m}^{(t+1)}, \tilde{m}^0) = \frac{1}{q \cdot h} \sum_{\substack{\bar{z}_u^1 \in Z_p^{(t+1)} \\ \bar{z}_u^2 \in Z_p}} \|\bar{z}_u^1 - \bar{z}_u^2\|. \quad (10)$$

Рассмотрим разность

$$\begin{aligned} \rho_m(\tilde{m}^{(t)}, \tilde{m}^0) - \rho_m(\tilde{m}^{(t+1)}, \tilde{m}^0) &= \frac{1}{q \cdot h} (\|\bar{z}_{2 \cdot s - 1}^{c(t)} - \bar{z}_{2 \cdot s - 1}^c\| + \|\bar{z}_{2 \cdot s}^{e(t)} - \bar{z}_{2 \cdot s}^e\| - \\ &- \|\bar{z}_{2 \cdot s - 1}^{c(t+1)} - \bar{z}_{2 \cdot s - 1}^c\| - \|\bar{z}_{2 \cdot s}^{e(t+1)} - \bar{z}_{2 \cdot s}^e\|) = \frac{1}{q \cdot h} (\|\bar{z}_{2 \cdot s - 1}^{c(t)} - \bar{z}_{2 \cdot s - 1}^c\| + \\ &+ \|\bar{z}_{2 \cdot s}^{e(t)} - \bar{z}_{2 \cdot s}^e\| - \|\bar{z}_{2 \cdot s - 1}^{c(t)} \vee (\bar{z}^{c(t+1)} \rightarrow F_p^j) - \bar{z}_{2 \cdot s - 1}^c\| - \\ &- \|\bar{z}_{2 \cdot s}^{e(t)} \vee (\bar{z}^{e(t+1)} \Rightarrow \bar{z}_{2 \cdot s}^e) - \bar{z}_{2 \cdot s}^e\|), \end{aligned} \quad (11)$$

где  $\bar{z}_{2 \cdot s - 1}^c, \bar{z}_{2 \cdot s}^e$  — столбцы матрицы предсказания процедурного признака  $f_p$ , соответствующего функциональному значению  $\tilde{m}^0$ .

Так как  $\tilde{f}_p^{(t+1)}$  выполним на  $(2 \cdot s - 1)$ -м столбце условий матрицы предсказания признака  $f_p$ , то после применения операции приведения  $\bar{z}^{c(t+1)} \rightarrow F_p^j$  в результирующем векторе единицы появляются только на тех же местах что и в векторе  $\bar{z}_{2 \cdot s - 1}^c$ .

Это означает, что в векторе  $\bar{z}_{2 \cdot s - 1}^{c(t)} \vee (\bar{z}^{c(t+1)} \rightarrow F_p^j)$  по сравнению с вектором  $\bar{z}_{2 \cdot s - 1}^{c(t)}$  единицы находятся только в тех же местах, что и в векторе  $\bar{z}_{2 \cdot s - 1}^c$ , а новых нулей не появляется. В следствие чего разность  $\|\bar{z}_{2 \cdot s - 1}^{c(t)} - \bar{z}_{2 \cdot s - 1}^c\| - \|\bar{z}_{2 \cdot s - 1}^{c(t)} \vee (\bar{z}^{c(t+1)} \rightarrow F_p^j) - \bar{z}_{2 \cdot s - 1}^c\|$  всегда больше нуля.

Так как для столбцов эффектов применяется операция сужающего приведения, которая оставляет единицы только на тех местах, на которых одновременно находятся единицы в

приводимом векторе и векторе, к которому осуществляется приведение. В связи с этим разность  $\|\bar{z}_{2,s}^{e(t)} - \bar{z}_{2,s}^e\| - \|\bar{z}_{2,s}^{e(t)} \vee (\bar{z}^{e(t+1)} \Rightarrow \bar{z}_{2,s}^e) - \bar{z}_{2,s}^e\|$  также больше нуля.

Так как обе разности в скобках выражения для  $\rho_m(\tilde{m}^{(t)}, \tilde{m}^0) - \rho_m(\tilde{m}^{(t+1)}, \tilde{m}^0)$  больше нуля, то отсюда следует, что функциональное значение  $\tilde{m}^{(t+1)}$  ближе к  $\tilde{m}^0$ . В виду произвольности выбора итерации  $t$ , это приводит к сходимости всей последовательности  $\langle \tilde{m}^{*(0)}, \tilde{m}^{*(1)}, \dots \rangle$ . ■

**3. Самосознание и его функции.** Для алгоритма планирования.

Здесь я бы предложил дать психологическое описание функций самосознания и определения функций оценки  $\Phi_a$  и  $\Phi_p$ .

**4. Алгоритм планирования.** Планом *Plan* будем называть такую последовательность личностных смыслов, в которой действие, представляемое очередным личностным смыслом не конфликтует с предыдущим в цепочке действием.

Целевая ситуация строится исходя из образа процедурного признака, связанного с личностным смыслом, который был определён в процессе целеполагания для целевого знака (см. первую часть статьи).

На странице 11 представлен алгоритм планирования поведения.

**Заключение.** Подведение общих итогов.

Про архитектуру агентов и распределение ролей.

## СПИСОК ЛИТЕРАТУРЫ

1. Осипов Г. С., Панов А. И., Чудова Н. В. Управление поведением как функция сознания. I. Картина мира и целеполагание // Известия РАН. Теория и системы управления. — 2014. — № 4. — С. 83–96.
2. Лурия А. Р. Мозг и психические процессы. Т. 2. — М. : Педагогика, 1970.
3. Выготский Л. С. Психология развития человека. — М. : Издательство Смысл, 2005. — С. 1136.
4. Леонтьев А. Н. Деятельность. Сознание. Личность. — М. : Политиздат, 1975.
5. Артемьева Е. Ю. Психология субъективной семантики. — М. : Издательство МГУ, 1980.
6. Эделмен Д., Маунткасл В. Разумный мозг. — М. : Мир, 1981.
7. Иваницкий А. М. Мозговая основа субъективных переживаний: гипотеза информационного синтеза // Журнал высшей нервной деятельности. — 1996. — Т. 46, № 2. — С. 241–282.
8. Иваницкий А. М. Наука о мозге на пути к решению проблемы сознания // Вестник РАН. — 2010. — Т. 80, № 5-6. — С. 447–455.
9. Mountcastle V. B. Perceptual Neuroscience. The Cerebral Cortex. — Cambridge : Harvard University Press, 1998. — P. 512.
10. Rockland K. S. Five points on columns. // Frontiers in neuroanatomy. — 2010. — Vol. 4. — P. 22.
11. Sequencing the connectome. / Anthony M Zador, Joshua Dubnau, Hassana K Oyibo et al. // PLoS biology. — 2012. — Vol. 10, no. 10.

---

### 3 Алгоритм $\mathcal{A}_{bp}$

---

**Вход:** начальная ситуация  $F_{sit}$ , целевая ситуация  $F_{goal}$ , функции оценки  $\Phi_a$  и  $\Phi_p$ ;

**Выход:** план  $Plan$ ;

---

```
1:  $Plan = \text{PLANNING}(\emptyset, F_{goal});$ 
2: процедура  $\text{PLANNING}(Plan, F_{cur})$ 
3:    $\Delta = F_{sit} \setminus F_{cur};$  // текущая невязка состояний
4:    $F_{for} = \arg \min_{F \in 2^{F_{sit}}} \left| \bigcap_{f_p \in F} F_A(f_p) \setminus \Delta \right|;$  // находим множество наиболее подходящих парал-
      лельных действий
5:   для всех  $f_j \in F_{for}$ 
6:     если  $\exists f_k \in F_{for}$  такой, что  $f_k \neq f_j$  и  $f_k$  конфликтует с  $f_j$  то
7:        $F_{for} = F_{for} \setminus \{f_k\};$  // Удаляем конфликтующие признаки
8:    $F_a^{for} = \emptyset;$  // текущее множество личностных смыслов
9:   для всех  $f_p \in F_{for}$ 
10:     $F_a^{for} = F_a^{for} \cup \{\text{INTERIOR}(f_p)\};$  // интериоризация значения
11:    $\tilde{F}_a^{for} = \Phi_a(F_a^{for}, f_{goal});$  // выбор предпочитаемых действий
12:   если  $\bigcup_{f \in \tilde{F}_a^{for}} F_C(f) \subseteq F_{sit}$  то
13:     вернуть  $Plan \cup \tilde{F}_a^{for};$  // возвращаем обновленный план
14:   иначе
15:      $\Delta^* = \Phi_p(\Delta, f_{goal});$  // Ранжирование критических признаков
16:      $\tilde{F}_a^{back} = \emptyset;$ 
17:     для всех  $f_k \in \Delta^*$ 
18:        $m_k = \tilde{m}(f_k);$  // определение значение  $k$ -го знака
19:        $F_a^{back} = \emptyset;$ 
20:       для всех  $f_p \in m_k$ 
21:          $F_a^{back} = F_a^{back} \cup \{\text{INTERIOR}(f_p)\};$ 
22:        $\tilde{F}_a^{back} = \tilde{F}_a^{back} \cup \Phi_a(F_a^{back}, f_{goal});$  // выбор предпочитаемых действий
23:     для всех  $f_j \in \tilde{F}_a^{back}$ 
24:       если  $\exists f_k \in \tilde{F}_a^{back}$  такой, что  $f_k \neq f_j$  и  $f_k$  конфликтует с  $f_j$  то
25:          $\tilde{F}_a^{back} = \tilde{F}_a^{back} \setminus \{f_k\};$  // Удаляем конфликтующие признаки
26:     если  $\Delta \not\subseteq \bigcup_{f \in \tilde{F}_a^{back}} F_A(f)$  то
27:       вернуть невозможно построить план;
28:     иначе
29:       вернуть  $\text{PLANNING}(Plan, \bigcup_{f \in \tilde{F}_a^{back}} F_C(f));$ 
```

---